

Bandelettes et représentation géométrique des images

E. LE PENNEC

Représentation géométrique des images



Représentation géométrique des images

- Représentation creuse du signal nécessaire pour le traitement du signal :
compression, débruitage, restauration, reconnaissance de forme. . .

Représentation géométrique des images

- Représentation creuse du signal nécessaire pour le traitement du signal :
compression, débruitage, restauration, reconnaissance de forme...
- Besoin de prendre en compte la géométrie pour améliorer la représentation des images.

Représentation géométrique des images

- Représentation creuse du signal nécessaire pour le traitement du signal :
compression, débruitage, restauration, reconnaissance de forme...
- Besoin de prendre en compte la géométrie pour améliorer la représentation des images.
- Relier les représentations d'analyses harmoniques (ondelettes) et la géométrie.

Représentation géométrique des images

- Représentation creuse du signal nécessaire pour le traitement du signal :
compression, débruitage, restauration, reconnaissance de forme...
- Besoin de prendre en compte la géométrie pour améliorer la représentation des images.
- Relier les représentations d'analyses harmoniques (ondelettes) et la géométrie.
- Entre traitement des images et vision par ordinateur : les codeurs de seconde génération.

Détection des contours



Détection des contours

- Un problème mal posé.

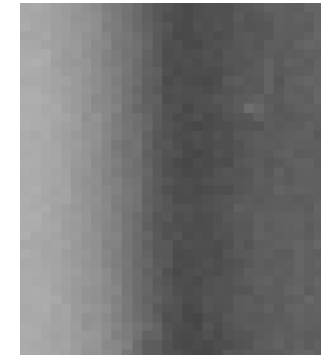
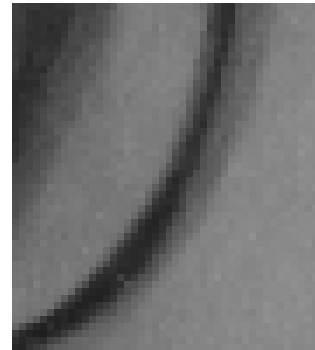
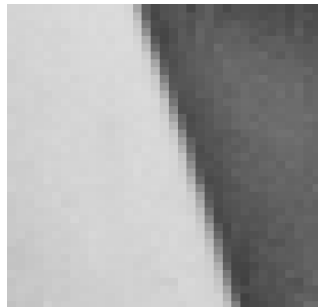


Détection des contours

- Un problème mal posé.



- Les contours sont des singularités lissées.

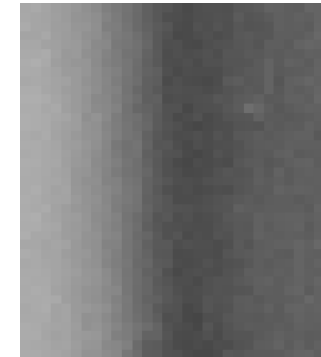
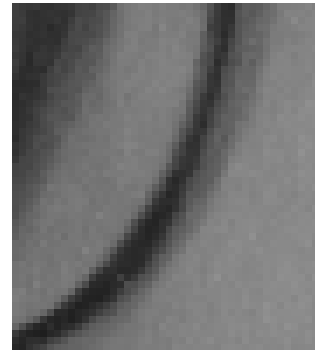
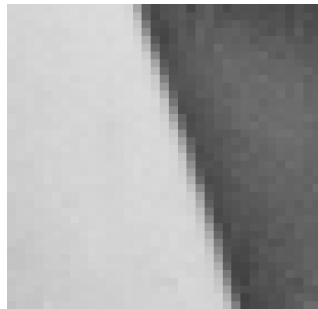


Détection des contours

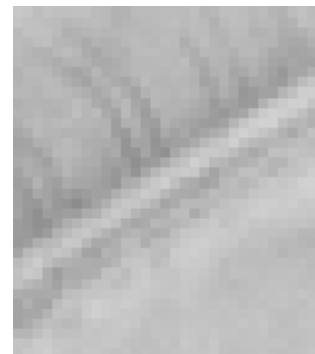
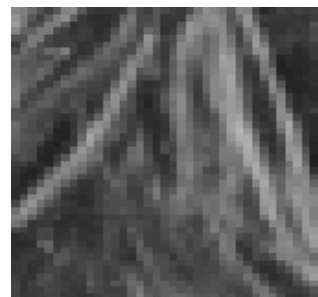
- Un problème mal posé.



- Les contours sont des singularités lissées.



- Où sont ces contours ?

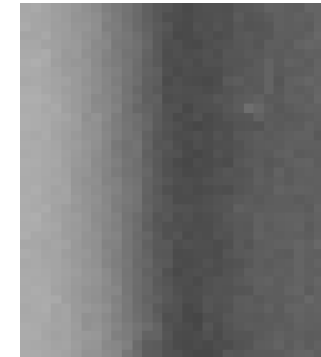
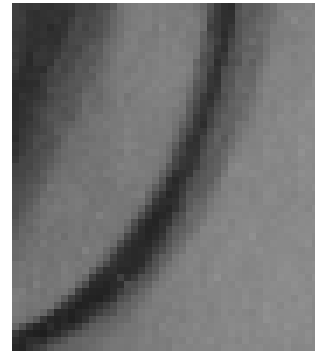
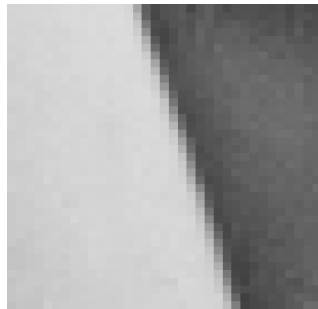


Détection des contours

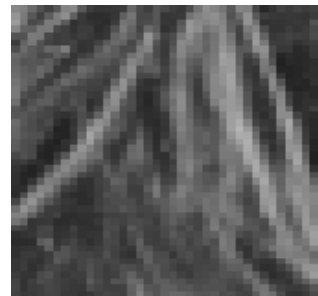
- Un problème mal posé.



- Les contours sont des singularités lissées.



- Où sont ces contours ?



- L'estimation de la géométrie peut-elle être *bien posée* ?

Plan



Plan

- Motivations

Plan

- Motivations
- Constructions des bandelettes

Plan

- Motivations
- Constructions des bandelettes
- Approximation non-linéaire

Plan

- Motivations
- Constructions des bandelettes
- Approximation non-linéaire
- Améliorations et conclusion

Représentation creuse



Représentation creuse

- Décomposition dans une base orthonormée $\mathcal{B} = \{g_m\}_{m \in \mathbb{N}}$

$$f = \sum_{m \in \mathbb{N}} \langle f, g_m \rangle g_m$$

Représentation creuse

- Décomposition dans une base orthonormée $\mathcal{B} = \{g_m\}_{m \in \mathbb{N}}$

$$f = \sum_{m \in \mathbb{N}} \langle f, g_m \rangle g_m$$

- Approximation avec M vecteurs choisis adaptativement

$$f_M = \sum_{m \in I_M} \langle f, g_m \rangle g_m$$

Représentation creuse

- Décomposition dans une base orthonormée $\mathcal{B} = \{g_m\}_{m \in \mathbb{N}}$

$$f = \sum_{m \in \mathbb{N}} \langle f, g_m \rangle g_m$$

- Approximation avec M vecteurs choisis adaptativement

$$f_M = \sum_{m \in I_M} \langle f, g_m \rangle g_m$$

- On veut minimiser $\|f - f_M\|^2 = \sum_{m \notin I_M} |\langle f, g_m \rangle|^2$

Représentation creuse

- Décomposition dans une base orthonormée $\mathcal{B} = \{g_m\}_{m \in \mathbb{N}}$

$$f = \sum_{m \in \mathbb{N}} \langle f, g_m \rangle g_m$$

- Approximation avec M vecteurs choisis adaptativement

$$f_M = \sum_{m \in I_M} \langle f, g_m \rangle g_m$$

- On veut minimiser $\|f - f_M\|^2 = \sum_{m \notin I_M} |\langle f, g_m \rangle|^2$

- I_M doit correspondre au M plus grands produits scalaires :

$$I_M = \{m, |\langle f, g_m \rangle| > T_M\} : \text{seuillage}$$

Représentation creuse

- Décomposition dans une base orthonormée $\mathcal{B} = \{g_m\}_{m \in \mathbb{N}}$

$$f = \sum_{m \in \mathbb{N}} \langle f, g_m \rangle g_m$$

- Approximation avec M vecteurs choisis adaptativement

$$f_M = \sum_{m \in I_M} \langle f, g_m \rangle g_m$$

- On veut minimiser $\|f - f_M\|^2 = \sum_{m \notin I_M} |\langle f, g_m \rangle|^2$

- I_M doit correspondre au M plus grands produits scalaires :

$$I_M = \{m, |\langle f, g_m \rangle| > T_M\} : \text{seuillage}$$

- **Problème** : Comment choisir la base \mathcal{B} pour que

$$\|f - f_M\|^2 \leq CM^{-\alpha} \text{ avec un grand } \alpha ?$$

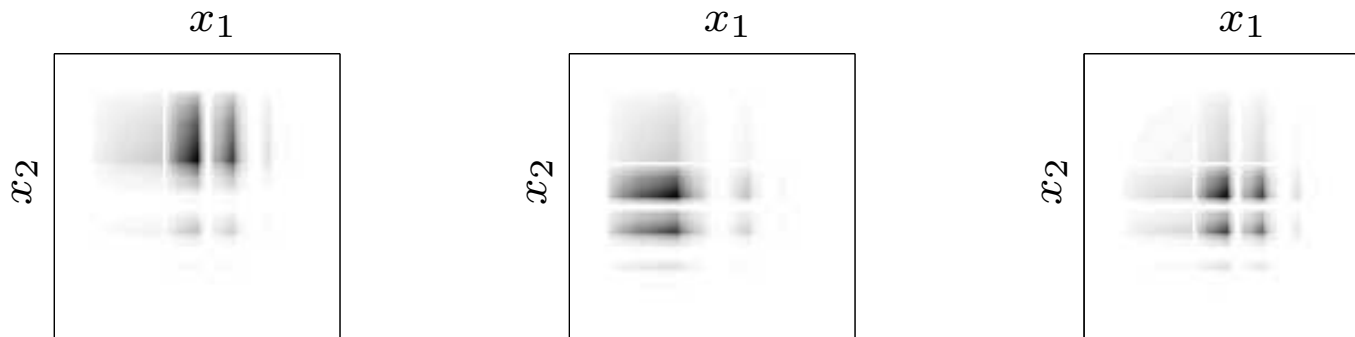
Ondelettes 2D



Ondelettes 2D

- Construites à partir de 3 ondelettes $\psi^k(x_1, x_2)$ avec $k = 1, 2, 3$ dilatées par 2^j et translatées par $2^j(n_1, n_2)$

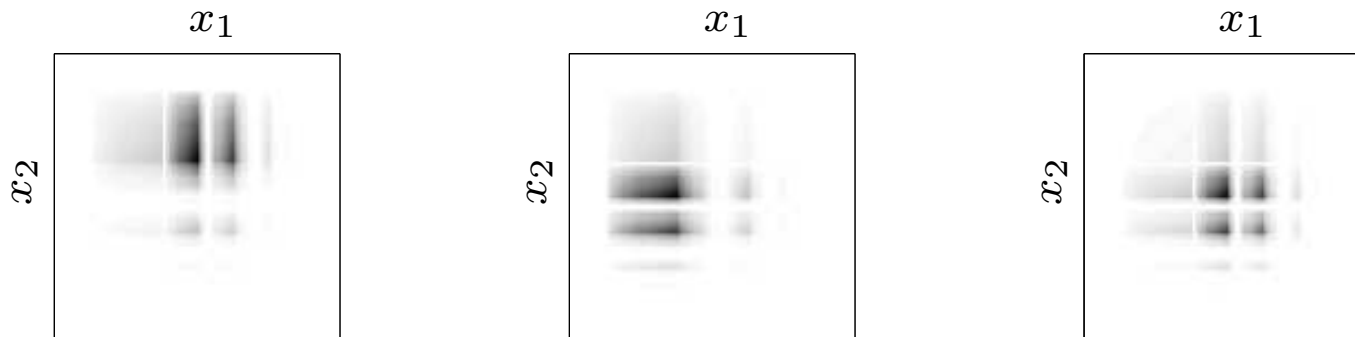
$$\psi_{j,n}^k(x_1, x_2) = \frac{1}{2^j} \psi^k\left(\frac{x_1 - 2^j n_1}{2^j}, \frac{x_2 - 2^j n_2}{2^j}\right).$$



Ondelettes 2D

- Construites à partir de 3 ondelettes $\psi^k(x_1, x_2)$ avec $k = 1, 2, 3$ dilatées par 2^j et translatées par $2^j(n_1, n_2)$

$$\psi_{j,n}^k(x_1, x_2) = \frac{1}{2^j} \psi^k\left(\frac{x_1 - 2^j n_1}{2^j}, \frac{x_2 - 2^j n_2}{2^j}\right).$$

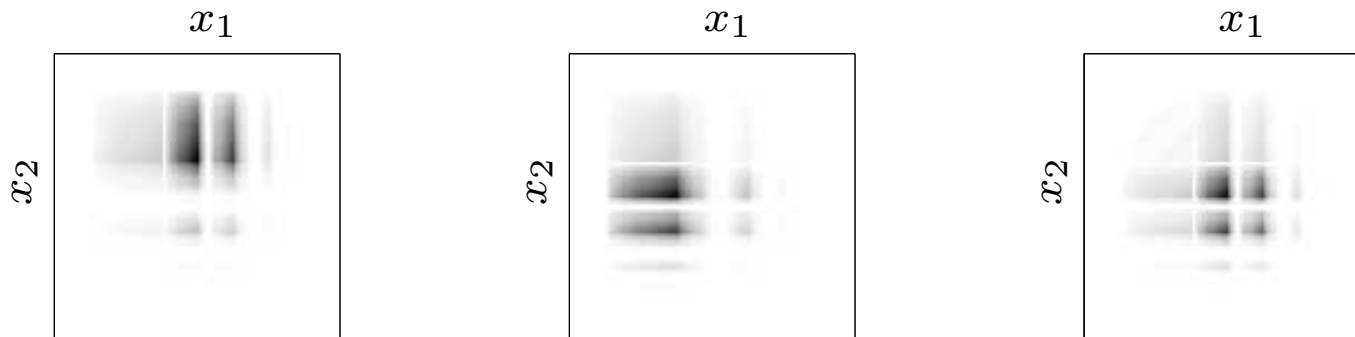


- $\mathcal{B} = \left\{ \psi_{j,n}^k \right\}_{j \in \mathbb{N}, 2^j n \in [0,1)^2, 1 \leq k \leq 3}$ est une base orthonormée de $L^2([0, 1]^2)$.

Ondelettes 2D

- Construites à partir de 3 ondelettes $\psi^k(x_1, x_2)$ avec $k = 1, 2, 3$ dilatées par 2^j et translatées par $2^j(n_1, n_2)$

$$\psi_{j,n}^k(x_1, x_2) = \frac{1}{2^j} \psi^k\left(\frac{x_1 - 2^j n_1}{2^j}, \frac{x_2 - 2^j n_2}{2^j}\right).$$



- $\mathcal{B} = \left\{ \psi_{j,n}^k \right\}_{j \in \mathbb{N}, 2^j n \in [0,1)^2, 1 \leq k \leq 3}$ est une base orthonormée de $L^2([0, 1]^2)$.
- Ondelettes *isotropes*.

Succès et échecs des ondelettes



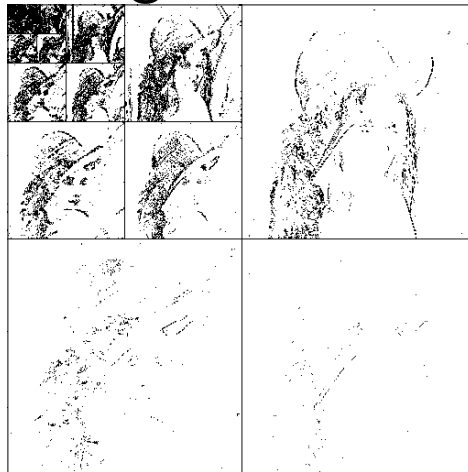
Succès et échecs des ondelettes

- Les images sont représentées dans une base d'ondelettes bi-dimensionnelles et les plus grands coefficients sont conservés (JPEG2000).

f



M coefficients
significatifs

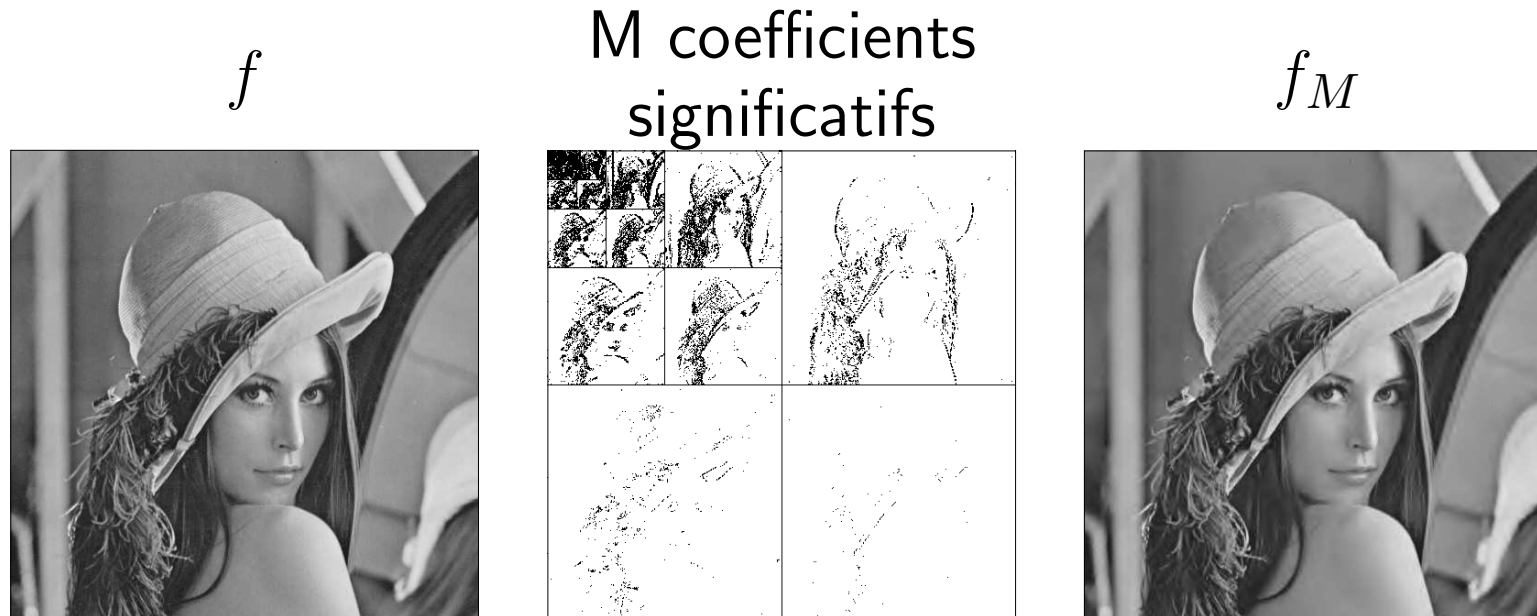


f_M



Succès et échecs des ondelettes

- Les images sont représentées dans une base d'ondelettes bi-dimensionnelles et les plus grands coefficients sont conservés (JPEG2000).



- Ne tient pas en compte la géométrie.

Utilisation de la géométrie

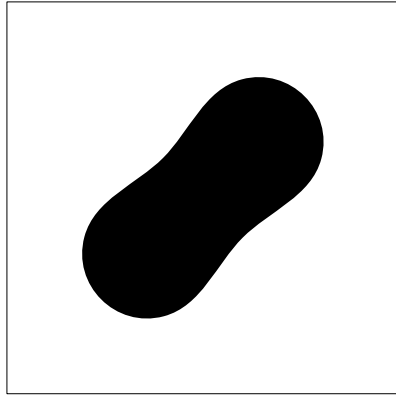


Utilisation de la géométrie

- La plupart des contours des images sont des courbes régulières.

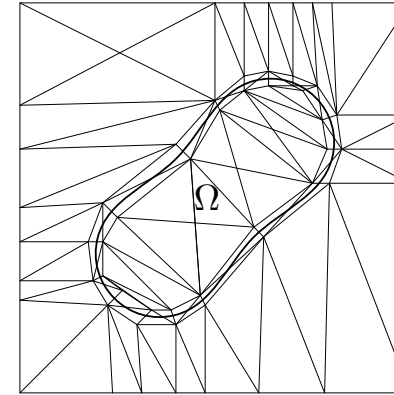
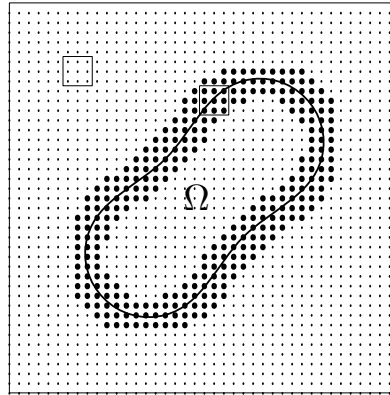
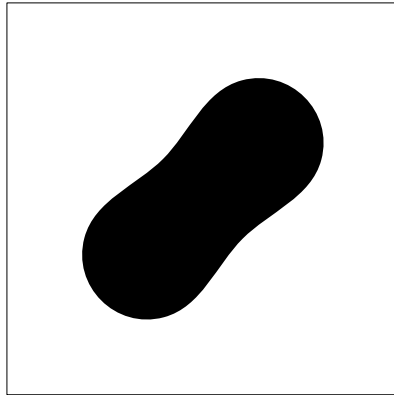
Utilisation de la géométrie

- La plupart des contours des images sont des courbes régulières.
- Exemple : $f = \mathbb{1}_\Omega$ où la frontière $\partial\Omega$ est régulière (\mathcal{C}^α avec $\alpha \geq 2$).



Utilisation de la géométrie

- La plupart des contours des images sont des courbes régulières.
- Exemple : $f = \mathbb{1}_\Omega$ où la frontière $\partial\Omega$ est régulière (C^α avec $\alpha \geq 2$).

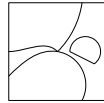


- Approximations :
 - avec M ondelettes : $\|f - f_M\|^2 \leq C M^{-1}$,
 - linéaire par morceaux avec M triangles : $\|f - f_M\|^2 \leq C M^{-2}$,
 - linéaire par morceaux avec M éléments géométriques d'ordre plus élevé : $\|f - f_M\|^2 \leq C M^{-\alpha}$,
 - avec M curvelets (*Candes, Donoho*) : $\|f - f_M\|^2 \leq C (\log M) M^{-2}$,
 - avec M coefficients dans une décomposition adaptée aux contours (*Cohen, Matei*) : $\|f - f_M\|^2 \leq C M^{-2}$.

Modèle des images



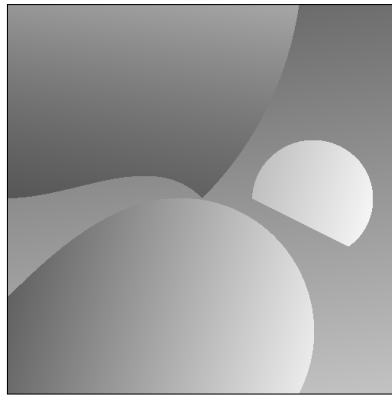
Modèle des images



• f : Image en dehors d'un ensemble de courbes \mathcal{C}^α

$$f(x) = \cdot$$

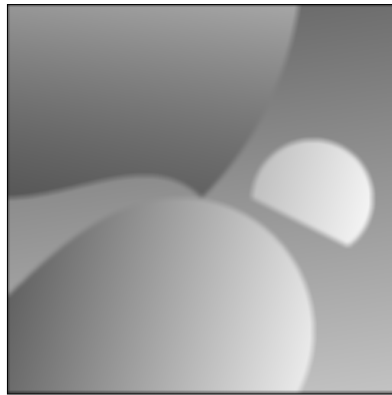
Modèle des images



• f : Image \mathcal{C}^α en dehors d'un ensemble de courbes \mathcal{C}^α

$$f(x) = f(x) \quad .$$

Modèle des images

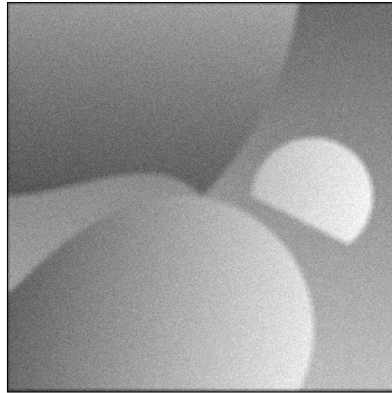


- f_s : Image \mathcal{C}^α en dehors d'un ensemble de courbes \mathcal{C}^α rendue floue

$$f_s(x) = g_s \star f(x) \quad \text{avec} \quad g_s(x) = \frac{1}{s} g\left(\frac{x}{s}\right).$$

- g est inconnu mais \mathcal{C}^α à support dans $[-1, 1]^2$.
- $s > 0$ est inconnu et peut varier selon x .

Modèle des images

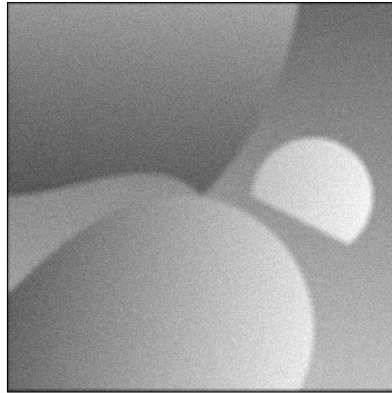


- f_s : Image \mathcal{C}^α en dehors d'un ensemble de courbes \mathcal{C}^α rendue floue et bruitée

$$f_s(x) = g_s \star f(x) + b(x) \quad \text{avec} \quad g_s(x) = \frac{1}{s} g\left(\frac{x}{s}\right) .$$

- g est inconnu mais \mathcal{C}^α à support dans $[-1, 1]^2$.
- $s > 0$ est inconnu et peut varier selon x .
- b est un *bruit*.

Modèle des images



- f_s : Image \mathcal{C}^α en dehors d'un ensemble de courbes \mathcal{C}^α rendue floue et bruitée

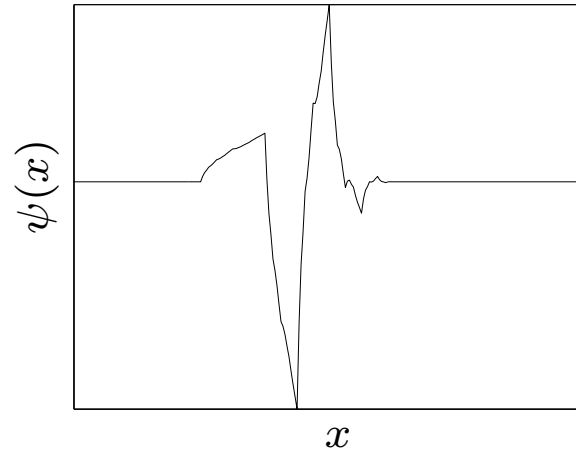
$$f_s(x) = g_s \star f(x) + b(x) \quad \text{avec} \quad g_s(x) = \frac{1}{s} g\left(\frac{x}{s}\right).$$

- g est inconnu mais \mathcal{C}^α à support dans $[-1, 1]^2$.
- $s > 0$ est inconnu et peut varier selon x .
- b est un *bruit*.
- Difficultés :
 - Représenter et détecter la géométrie.
 - Utiliser la régularité géométrique.

Ondelettes anisotropes



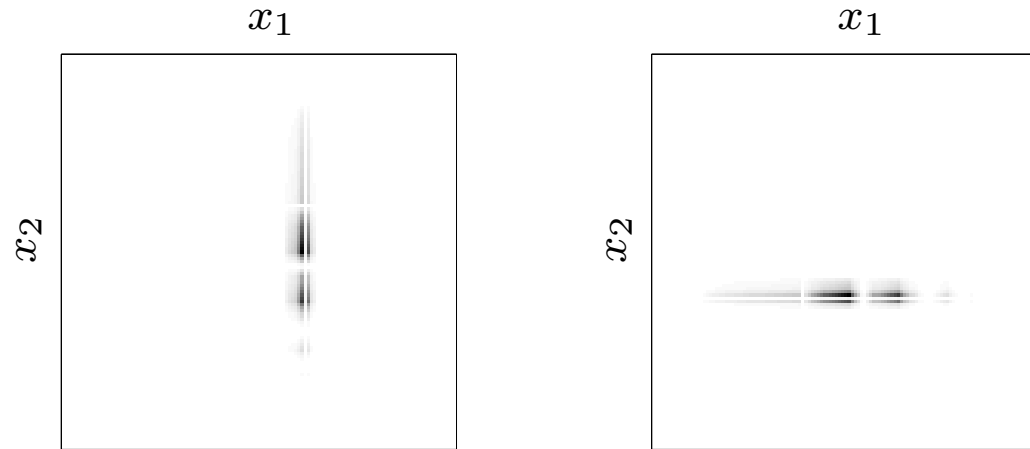
Ondelettes anisotropes



● Base d'ondelettes 1D :

$$\{\psi_{j,n}(x) = 2^{-j/2}\psi(2^{-j}(x - 2^j n))\}_{j \in \mathbb{Z}, 2^j n \in [0,1]} \cdot$$

Ondelettes anisotropes



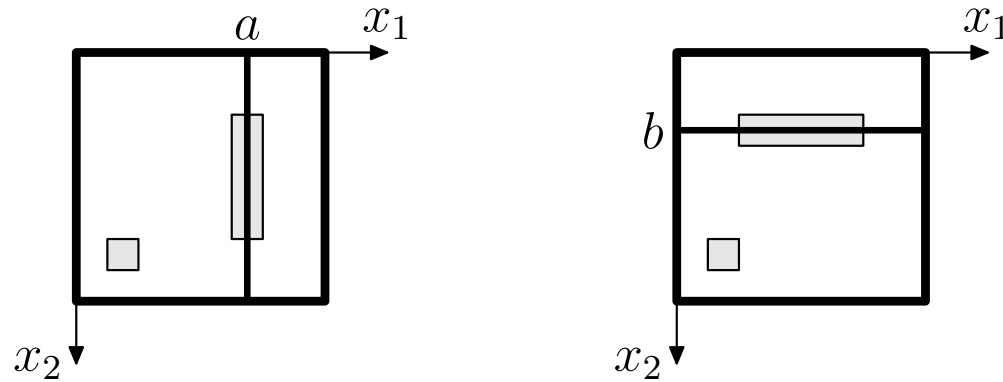
- Base d'ondelettes 1D :

$$\{\psi_{j,n}(x) = 2^{-j/2}\psi(2^{-j}(x - 2^j n))\}_{j \in \mathbb{Z}, 2^j n \in [0,1]} \cdot$$

- Base d'*ondelettes anisotropes* : produit tensoriel de base 1D

$$\{\psi_{j_1, n_1}(x_1) \psi_{j_2, n_2}(x_2)\}_{j_1, n_1, j_2, n_2} \cdot$$

Ondelettes anisotropes



- Base d'ondelettes 1D :

$$\{\psi_{j,n}(x) = 2^{-j/2}\psi(2^{-j}(x - 2^j n))\}_{j \in \mathbb{Z}, 2^j n \in [0,1]} .$$

- Base d'ondelettes anisotropes : produit tensoriel de base 1D

$$\{\psi_{j_1, n_1}(x_1) \psi_{j_2, n_2}(x_2)\}_{j_1, n_1, j_2, n_2} .$$

- **Théorème** : Si $f(x_1, x_2)$ est \mathcal{C}^α pour $x_1 < a$ et $x_1 > a$ ou pour $x_2 < b$ et $x_2 > b$ alors que $f_s = f$ ou $f_s = g_s \star f$ son approximation $f_{s,M}$ avec M ondelettes anisotropes satisfait

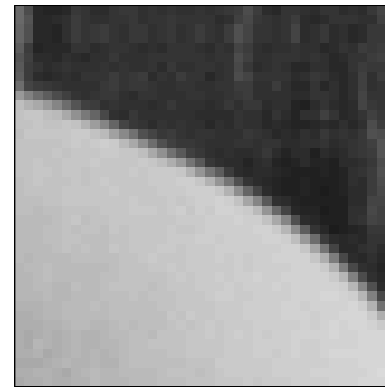
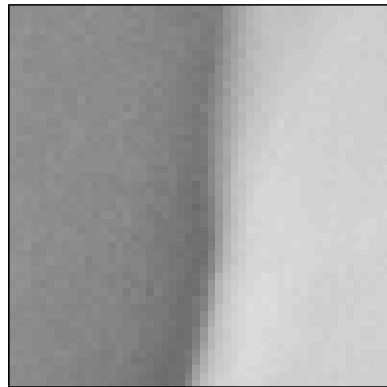
$$\|f_s - f_{s,M}\|^2 \leq C M^{-\alpha} .$$

Direction de régularité / Flot



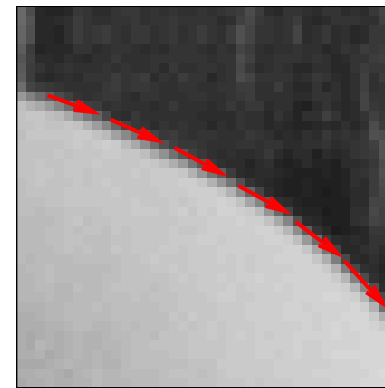
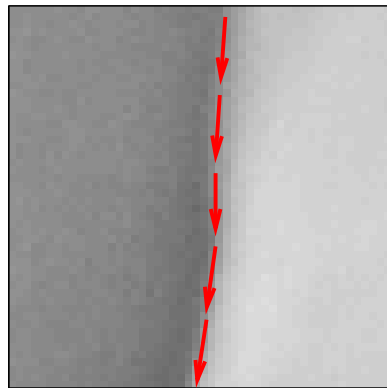
Direction de régularité / Flot

- Direction dans laquelle la fonction est régulière.



Direction de régularité / Flot

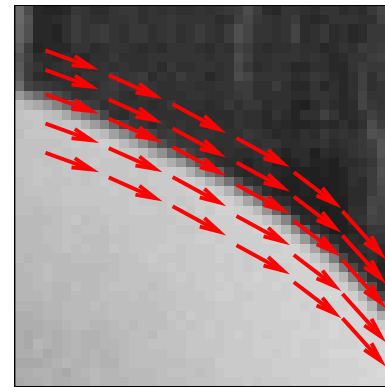
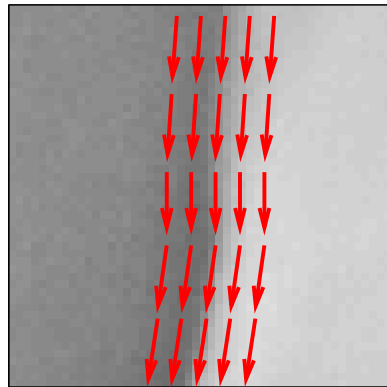
- Direction dans laquelle la fonction est régulière.
- Notion plus générale que celle de contour.



Direction de régularité / Flot

- Direction dans laquelle la fonction est régulière.
- Notion plus générale que celle de contour.
- Sur un domaine Ω , le flot géométrique τ est un champ de direction de régularité parallèle :

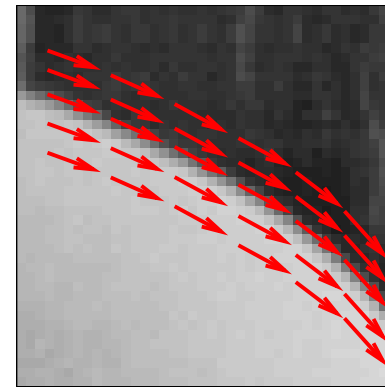
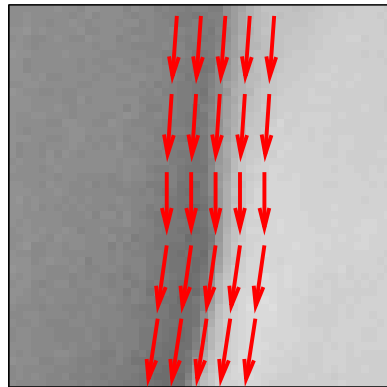
$$\vec{\tau}(x_1, x_2) = \vec{\tau}(x_2) \quad \text{ou} \quad \vec{\tau}(x_1, x_2) = \vec{\tau}(x_1)$$



Direction de régularité / Flot

- Direction dans laquelle la fonction est régulière.
- Notion plus générale que celle de contour.
- Sur un domaine Ω , le flot géométrique τ est un champ de direction de régularité parallèle :

$$\vec{\tau}(x_1, x_2) = \vec{\tau}(x_2) \quad \text{ou} \quad \vec{\tau}(x_1, x_2) = \vec{\tau}(x_1)$$



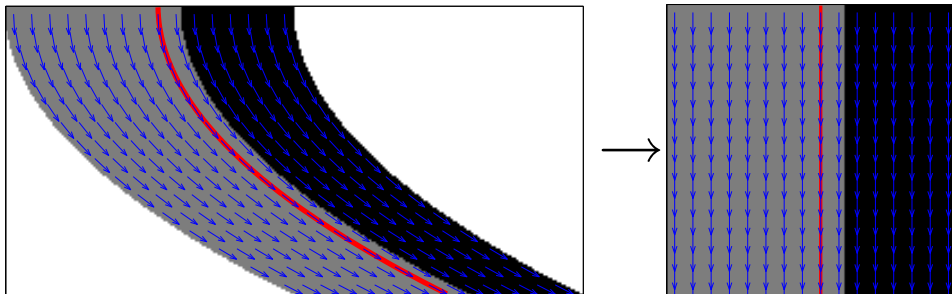
- Dans la thèse, obtenu à partir de la direction du gradient en des maxima locaux.

Flots, courbes et déformation



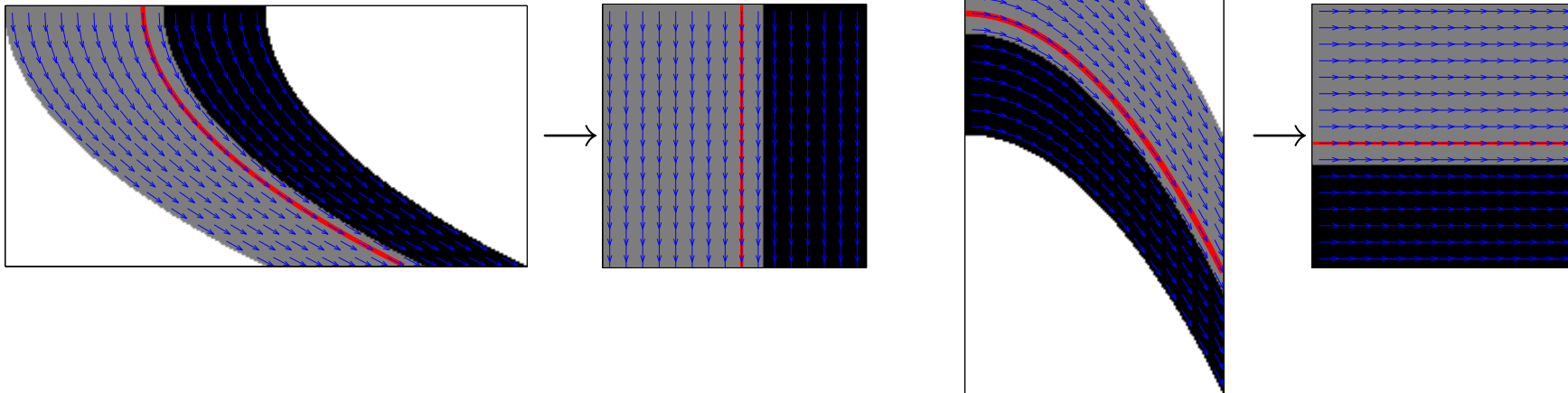
Flots, courbes et déformation

- Soit $x_1 = c(x_2)$ une courbe intégrale du flot $\vec{\tau}(x_1, x_2) = \vec{\tau}(x_2)$. L'image $f_c(x_1, x_2) = f(x_1 + c(x_2), x_2)$ admet un flot strictement vertical.



Flots, courbes et déformation

- Soit $x_1 = c(x_2)$ une courbe intégrale du flot $\vec{\tau}(x_1, x_2) = \vec{\tau}(x_2)$. L'image $f_c(x_1, x_2) = f(x_1 + c(x_2), x_2)$ admet un flot strictement vertical.
- Soit $x_2 = c(x_1)$ une courbe intégrale du flot $\vec{\tau}(x_1, x_2) = \vec{\tau}(x_1)$. L'image $f_c(x_1, x_2) = f(x_1, x_2 + c(x_1))$ admet un flot strictement horizontal.



Bandelettes



Bandelettes

- Décomposer $f(x_1 + c(x_2), x_2)$ dans une base orthogonale d'ondelettes isotropes

$$\{\psi_{j_1, n_1}(x_1) \psi_{j_2, n_2}(x_2)\}_{j_1, j_2, n_1, n_2}$$

est équivalent à décomposer $f(x_1, x_2)$ dans une base orthogonale de *bandelettes*

$$\{\psi_{j_1, n_1}(x_1 - c(x_2)) \psi_{j_2, n_2}(x_2)\}_{j_1, j_2, n_1, n_2} \cdot$$

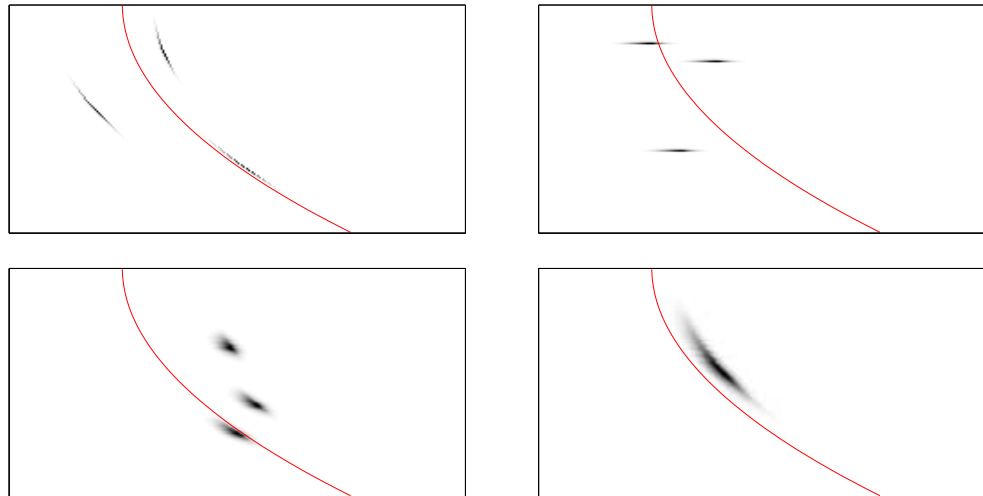
Bandelettes

- Décomposer $f(x_1 + c(x_2), x_2)$ dans une base orthogonale d'ondelettes isotropes

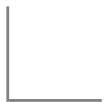
$$\{\psi_{j_1, n_1}(x_1) \psi_{j_2, n_2}(x_2)\}_{j_1, j_2, n_1, n_2}$$

est équivalent à décomposer $f(x_1, x_2)$ dans une base orthogonale de *bandelettes*

$$\{\psi_{j_1, n_1}(x_1 - c(x_2)) \psi_{j_2, n_2}(x_2)\}_{j_1, j_2, n_1, n_2} \cdot$$



Bandelettes sur un domaine



Bandelettes sur un domaine

- Domaine Ω muni d'un flot représenté par une courbe intégrale.

Bandelettes sur un domaine

- Domaine Ω muni d'un flot représenté par une courbe intégrale.
- Famille orthonormée permettant la reconstruction constituée
 - des bandelettes à support dans Ω ,
 - de bandelettes de bords traversant la frontière $\partial\Omega$.

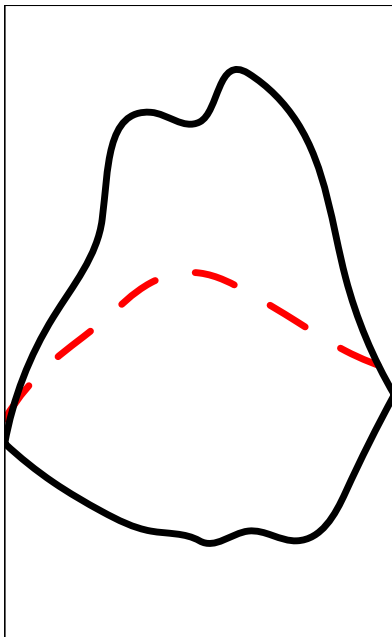
Bandelettes sur un domaine

- Domaine Ω muni d'un flot représenté par une courbe intégrale.
- Famille orthonormée permettant la reconstruction constituée
 - des bandelettes à support dans Ω ,
 - de bandelettes de bords traversant la frontière $\partial\Omega$.
- Obtenue par un changement de base : *bandelettisation*.

Bandelettes sur un domaine

- Domaine Ω muni d'un flot représenté par une courbe intégrale.
- Famille orthonormée permettant la reconstruction constituée
 - des bandelettes à support dans Ω ,
 - de bandelettes de bords traversant la frontière $\partial\Omega$.
- Obtenue par un changement de base : *bandelettisation*.

Image

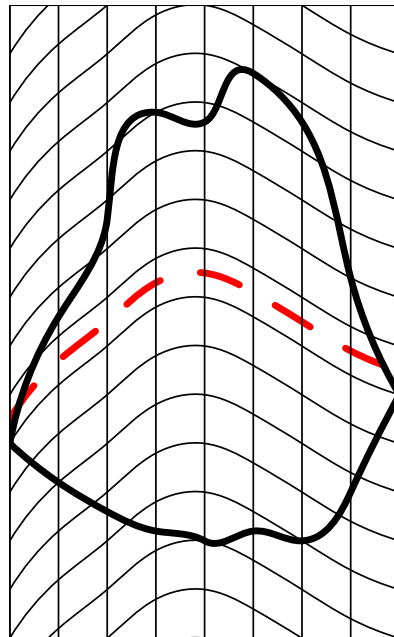
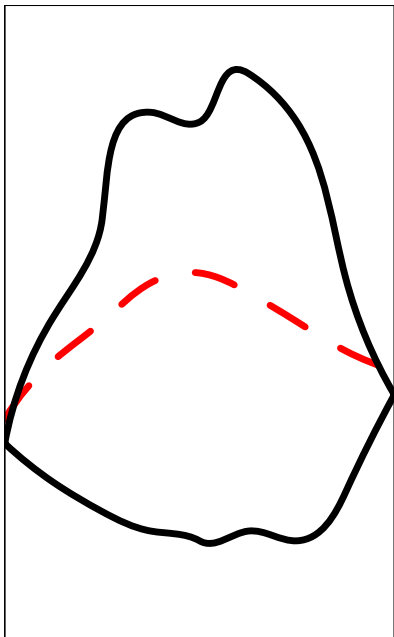


Bandelettes sur un domaine

- Domaine Ω muni d'un flot représenté par une courbe intégrale.
- Famille orthonormée permettant la reconstruction constituée
 - des bandelettes à support dans Ω ,
 - de bandelettes de bords traversant la frontière $\partial\Omega$.
- Obtenue par un changement de base : *bandelettisation*.

Image

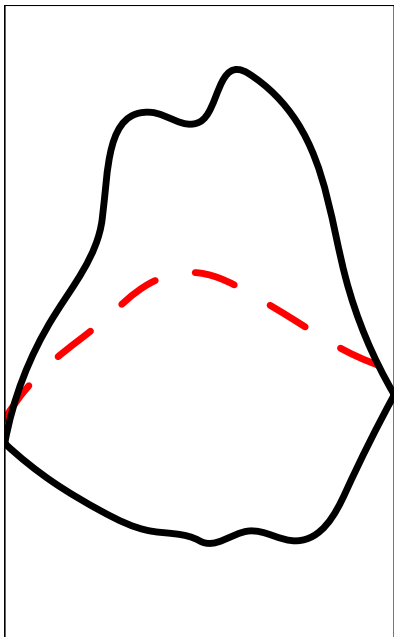
Ondelettes
déformées



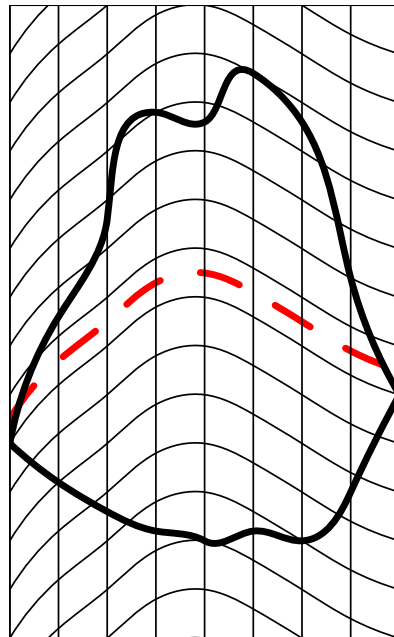
Bandelettes sur un domaine

- Domaine Ω muni d'un flot représenté par une courbe intégrale.
- Famille orthonormée permettant la reconstruction constituée
 - des bandelettes à support dans Ω ,
 - de bandelettes de bords traversant la frontière $\partial\Omega$.
- Obtenue par un changement de base : *bandelettisation*.

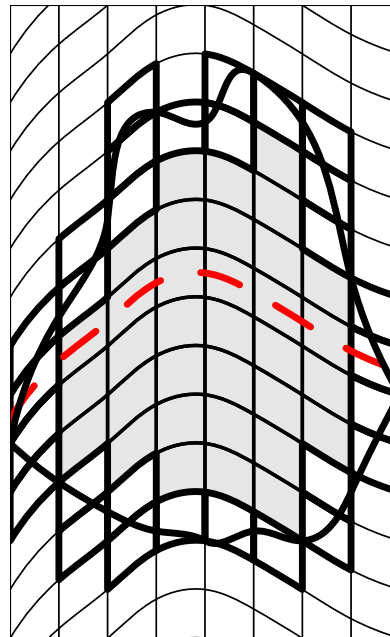
Image



Ondelettes
déformées



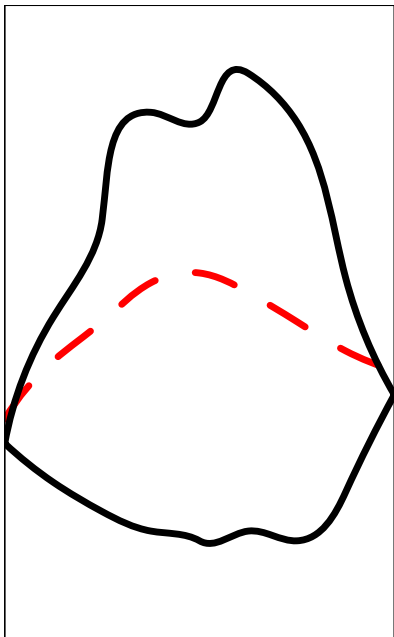
Sélection



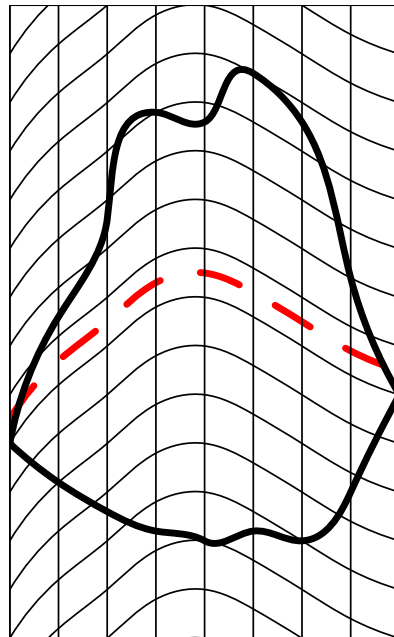
Bandelettes sur un domaine

- Domaine Ω muni d'un flot représenté par une courbe intégrale.
- Famille orthonormée permettant la reconstruction constituée
 - des bandelettes à support dans Ω ,
 - de bandelettes de bords traversant la frontière $\partial\Omega$.
- Obtenue par un changement de base : *bandelettisation*.

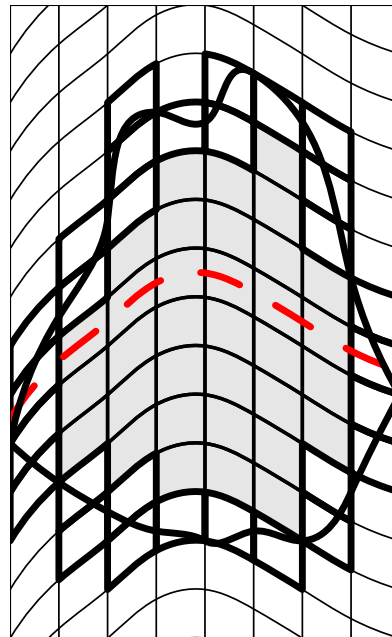
Image



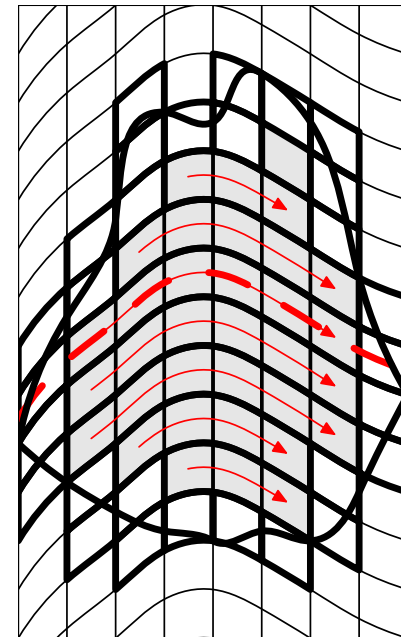
Ondelettes déformées



Sélection



Bandelettes



Bandelettes sur un domaine

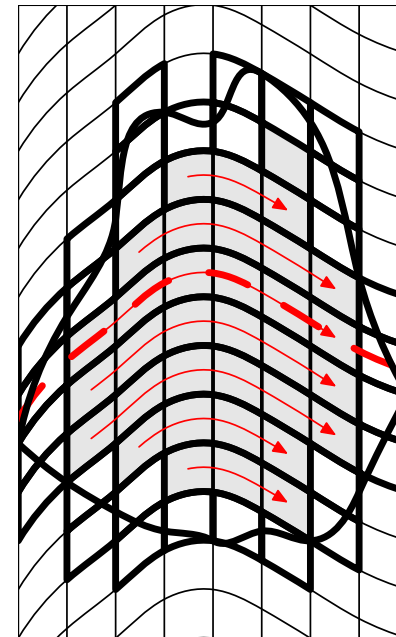
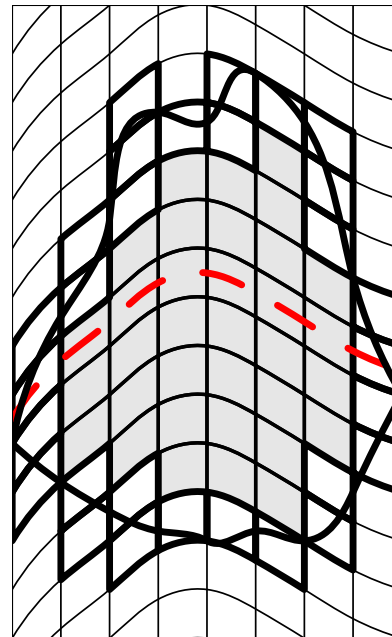
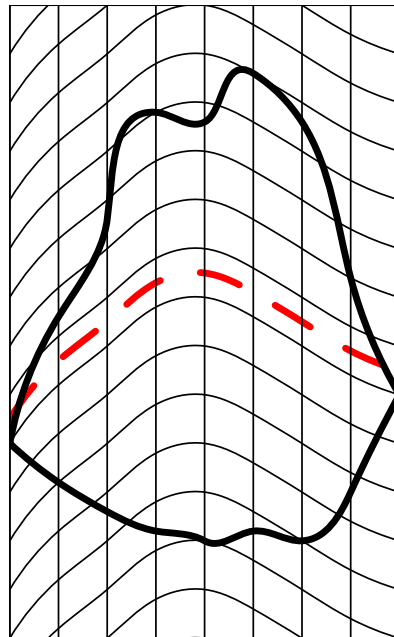
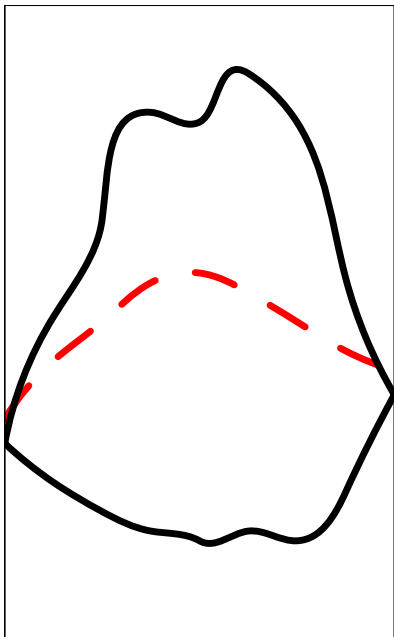
- Domaine Ω muni d'un flot représenté par une courbe intégrale.
- Famille orthonormée permettant la reconstruction constituée
 - des bandelettes à support dans Ω ,
 - de bandelettes de bords traversant la frontière $\partial\Omega$.
- Obtenue par un changement de base : *bandelettisation*.

Image

Ondelettes
déformées

Sélection

Bandelettes



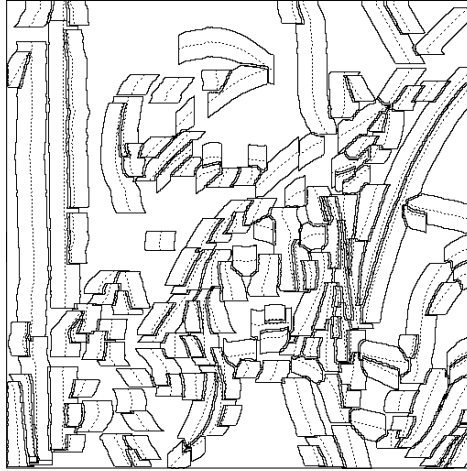
- Dans le cas discret, la déformation nécessite une interpolation.

Frame de bandelettes



Frame de bandelettes

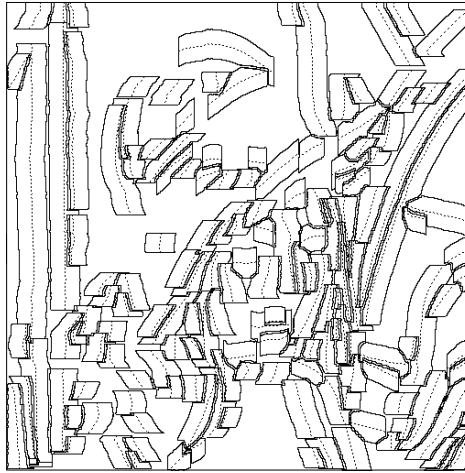
- Segmentation de l'image :



- des régions disjointes Ω_i munies d'un flot géométrique $\vec{\tau}_i(x)$,
- un complément $C = [0, 1]^2 - \cup_i \Omega_i$ sans direction privilégiée.

Frame de bandelettes

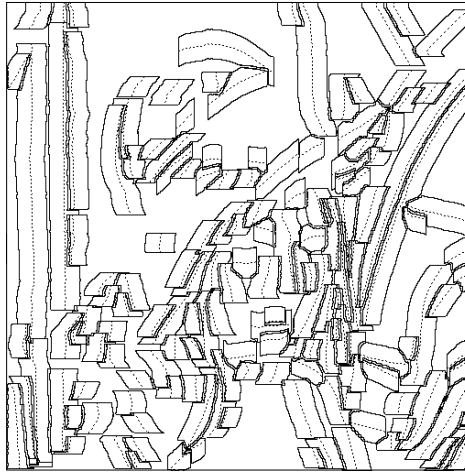
- Segmentation de l'image :



- des régions disjointes Ω_i munies d'un flot géométrique $\vec{\tau}_i(x)$,
- un complément $C = [0, 1]^2 - \cup_i \Omega_i$ sans direction privilégiée.
- Géométrie :
 - Courbes intégrales c_i et contours $\partial\Omega_i$ des régions Ω_i .

Frame de bandelettes

- Segmentation de l'image :



- des régions disjointes Ω_i munies d'un flot géométrique $\vec{\tau}_i(x)$,
- un complément $C = [0, 1]^2 - \cup_i \Omega_i$ sans direction privilégiée.
- Géométrie :
 - Courbes intégrales c_i et contours $\partial\Omega_i$ des régions Ω_i .
- Frame de bandelettes formé de l'union :
 - des bandelettes sur chacun des domaines Ω_i ,
 - des ondelettes isotropes rencontrant C .

Approximation de la géométrie



Approximation de la géométrie

- Approximation linéaire des c_i dans une base d'ondelettes 1D avec une échelle adaptée 2^{J_i} :

$$c_i = \sum_{j,n} \langle c_i, \psi_{j,n} \rangle \psi_{j,n} \quad \Rightarrow \quad \tilde{c}_i = \sum_{2^j \geq 2^{J_i,n}} \langle c_i, \psi_{j,n} \rangle \psi_{j,n} .$$

Approximation de la géométrie

- Approximation linéaire des c_i dans une base d'ondelettes 1D avec une échelle adaptée 2^{J_i} :

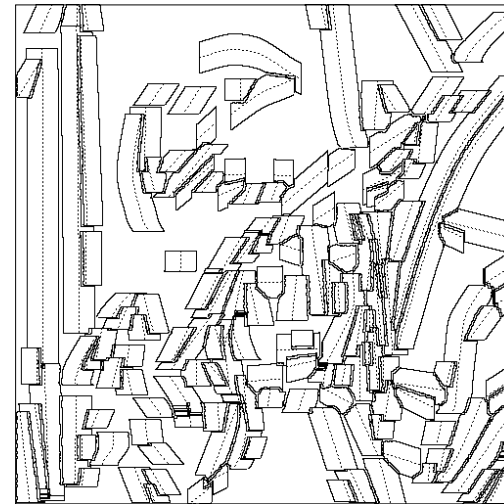
$$c_i = \sum_{j,n} \langle c_i, \psi_{j,n} \rangle \psi_{j,n} \quad \Rightarrow \quad \tilde{c}_i = \sum_{2^j \geq 2^{J_i,n}} \langle c_i, \psi_{j,n} \rangle \psi_{j,n} .$$

c_i et Ω_i



\Rightarrow

\tilde{c}_i et $\tilde{\Omega}_i$

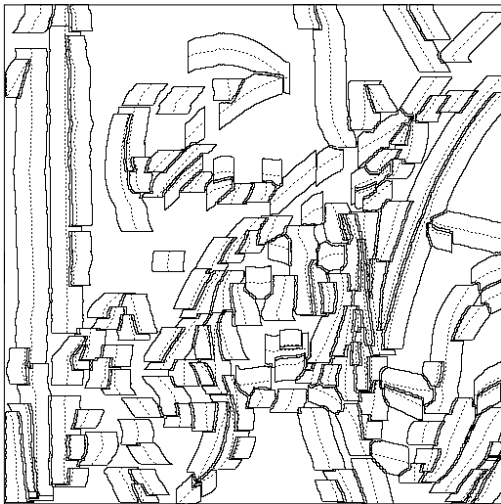


Approximation de la géométrie

- Approximation linéaire des c_i dans une base d'ondelettes 1D avec une échelle adaptée 2^{J_i} :

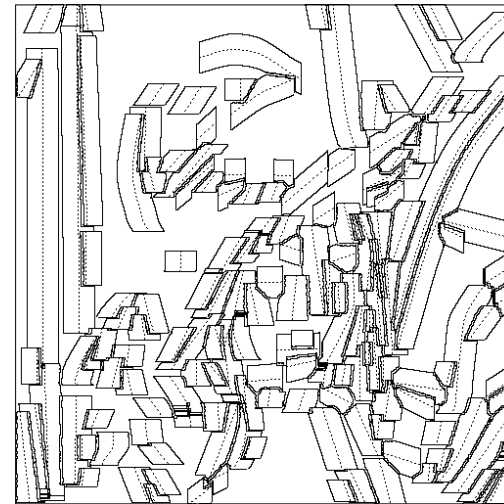
$$c_i = \sum_{j,n} \langle c_i, \psi_{j,n} \rangle \psi_{j,n} \quad \Rightarrow \quad \tilde{c}_i = \sum_{2^j \geq 2^{J_i,n}} \langle c_i, \psi_{j,n} \rangle \psi_{j,n} .$$

c_i et Ω_i



\Rightarrow

\tilde{c}_i et $\tilde{\Omega}_i$



- Modification du frame de bandelettes.

Approximation M-termes



Approximation M-termes

- Deux types de coefficients : géométrie et décomposition.

Approximation M-termes

- Deux types de coefficients : géométrie et décomposition.
- Géométrie : choix du frame par les échelles adaptées
 - $M_{g,i}$ coefficients d'ondelettes de c_i au dessus de l'échelle 2^{J_i} .
 - c_i et Ω_i sont remplacés par \tilde{c}_i et $\tilde{\Omega}_i$.

Approximation M-termes

- Deux types de coefficients : géométrie et décomposition.
- Géométrie : choix du frame par les échelles adaptées
 - $M_{g,i}$ coefficients d'ondelettes de c_i au dessus de l'échelle 2^{J_i} .
 - c_i et Ω_i sont remplacés par \tilde{c}_i et $\tilde{\Omega}_i$.
- Décomposition : coefficients plus grand que Δ :
 - $M_{b,i}$ coefficients pour les bandelettes sur le domaine $\tilde{\Omega}_i$,
 - $M_{w,C}$ coefficients pour les ondelettes sur le complément.

Approximation M-termes

- Deux types de coefficients : géométrie et décomposition.
- Géométrie : choix du frame par les échelles adaptées
 - $M_{g,i}$ coefficients d'ondelettes de c_i au dessus de l'échelle 2^{J_i} .
 - c_i et Ω_i sont remplacés par \tilde{c}_i et $\tilde{\Omega}_i$.
- Décomposition : coefficients plus grand que Δ :
 - $M_{b,i}$ coefficients pour les bandelettes sur le domaine $\tilde{\Omega}_i$,
 - $M_{w,C}$ coefficients pour les ondelettes sur le complément.
- L'approximation résultante f_M nécessite M coefficients avec

$$M = \sum_i \left(M_{g,i} + M_{b,i} \right) + M_{w,C} ,$$

Optimisation de la géométrie



Optimisation de la géométrie

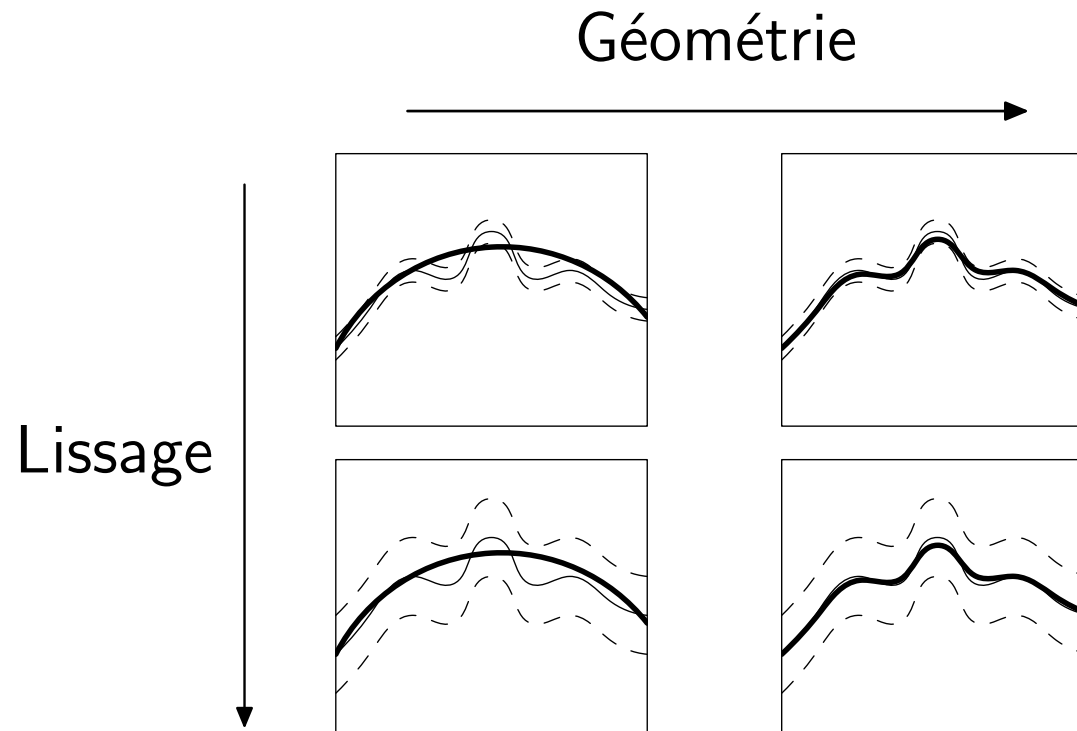
- Choix du frame qui conduit à la représentation la plus creuse.

Optimisation de la géométrie

- Choix du frame qui conduit à la représentation la plus creuse.
- Équilibre entre la géométrie et la décomposition.

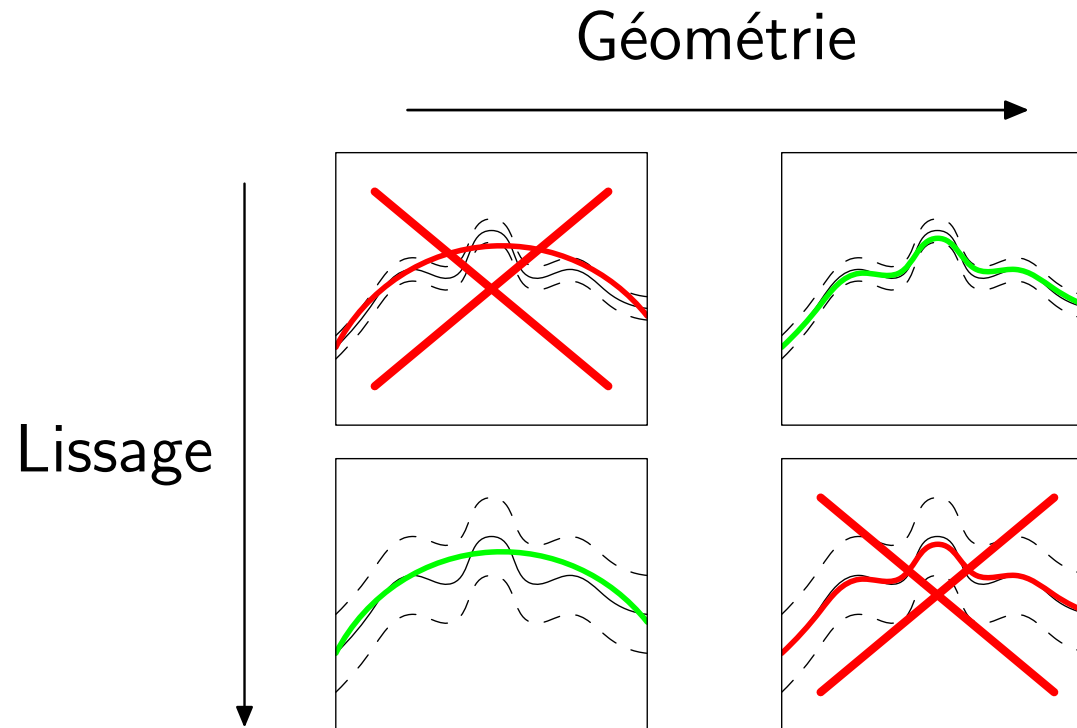
Optimisation de la géométrie

- Choix du frame qui conduit à la représentation la plus creuse.
- Équilibre entre la géométrie et la décomposition.



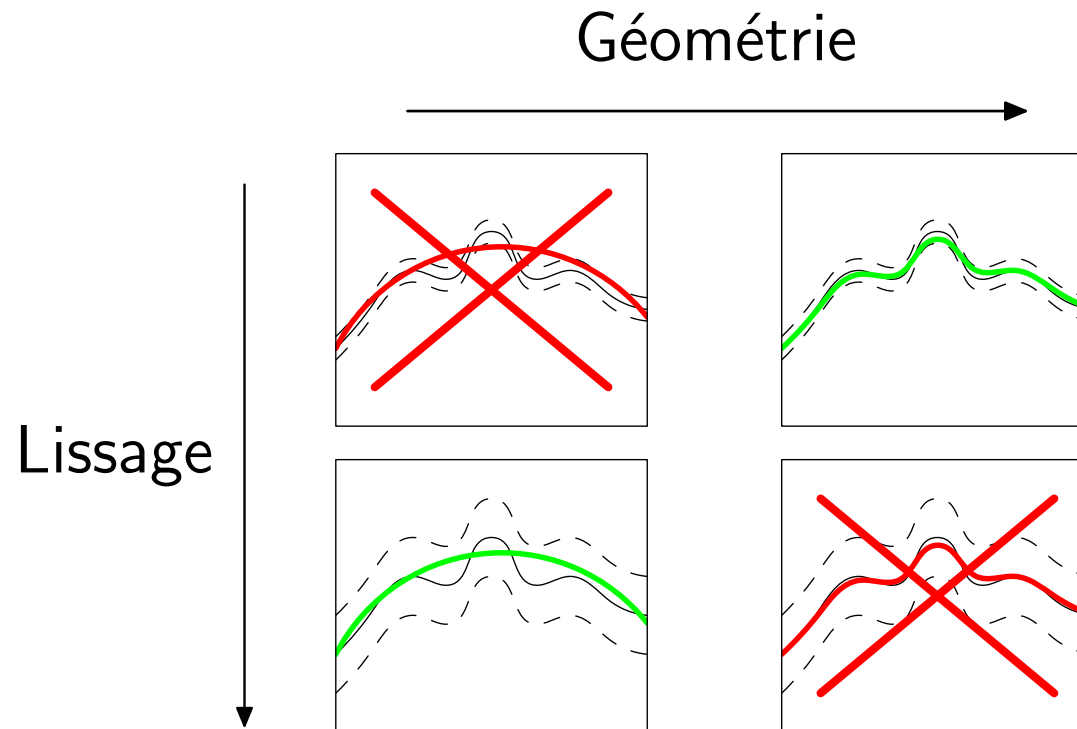
Optimisation de la géométrie

- Choix du frame qui conduit à la représentation la plus creuse.
- Équilibre entre la géométrie et la décomposition.



Optimisation de la géométrie

- Choix du frame qui conduit à la représentation la plus creuse.
- Équilibre entre la géométrie et la décomposition.



- Minimisation de $M = \sum_i (M_{g,i} + M_{b,i}) + M_{w,C}$ en minimisant $M_{g,i} + M_{b,i}$ pour chaque zone à seuil Δ fixé.

Approximation non-linéaire



Approximation non-linéaire

● Théorème :

Soit f un fonction telle que, en dehors d'un ensemble de courbes dont les dérivées d'ordre α des paramétrisations normales sont bornées, les dérivées partielles d'ordre α sont bornées, il existe deux constantes K_1 et K_2 ne dépendant que de la fonction f , du noyau de lissage g et de l'ondelette ψ telles que pour tout ϵ si on connaît une détection à $\eta = \inf(\epsilon, s)$ près de la géométrie alors on peut construire une approximation $f_{s,\epsilon}$ de $f_s = g_s \star f$ avec $M_{s,\epsilon}$ coefficients où

$$M_{s,\epsilon} \leq K_1 \epsilon^{-1/\alpha} \quad (1)$$

telle que
$$\|f_s - f_{s,\epsilon}\|_2^2 \leq K_2 \epsilon \quad (2)$$

et donc
$$\|f_s - f_{s,\epsilon}\|_2^2 \leq K_1^\alpha K_2 M_{s,\epsilon}^{-\alpha} \quad (3)$$

où les constantes K_1 et K_2 ne dépendent que de la fonction f , du noyau de lissage h et des ondelettes utilisées.

Approximation non-linéaire

- **Théorème :**

Soit f une fonction \mathcal{C}^α en dehors d'un ensemble de courbes elles-mêmes \mathcal{C}^α , l'approximation $f_{s,M}$ de $f_s = g_s \star f$ avec M coefficients satisfait

$$\|f_s - f_{s,M}\|^2 \leq C M^{-\alpha} .$$

dès que la détection est suffisamment précise.

Approximation non-linéaire

- **Théorème :**

Soit f une fonction \mathcal{C}^α en dehors d'un ensemble de courbes elles-mêmes \mathcal{C}^α , l'approximation $f_{s,M}$ de $f_s = g_s \star f$ avec M coefficients satisfait

$$\|f_s - f_{s,M}\|^2 \leq C M^{-\alpha} .$$

dès que la détection est suffisamment précise.

- Régularité α inconnue.

Approximation non-linéaire

- **Théorème :**

Soit f une fonction \mathcal{C}^α en dehors d'un ensemble de courbes elles-mêmes \mathcal{C}^α , l'approximation $f_{s,M}$ de $f_s = g_s \star f$ avec M coefficients satisfait

$$\|f_s - f_{s,M}\|^2 \leq C M^{-\alpha} .$$

dès que la détection est suffisamment précise.

- Régularité α inconnue.
- Noyau de lissage g_s inconnu.

Approximation non-linéaire

- **Théorème :**

Soit f une fonction \mathcal{C}^α en dehors d'un ensemble de courbes elles-mêmes \mathcal{C}^α , l'approximation $f_{s,M}$ de $f_s = g_s \star f$ avec M coefficients satisfait

$$\|f_s - f_{s,M}\|^2 \leq C M^{-\alpha} .$$

dès que la détection est suffisamment précise.

- Régularité α inconnue.
- Noyau de lissage g_s inconnu.
- Optimalité sous condition de détection.

Approximation non-linéaire

● Théorème :

Soit f une fonction \mathcal{C}^α en dehors d'un ensemble de courbes elles-mêmes \mathcal{C}^α , l'approximation $f_{s,M}$ de $f_s = g_s \star f$ avec M coefficients satisfait

$$\|f_s - f_{s,M}\|^2 \leq C M^{-\alpha} .$$

dès que la détection est suffisamment précise.

- Régularité α inconnue.
- Noyau de lissage g_s inconnu.
- Optimalité sous condition de détection.
- Amélioration par rapport :
 - aux ondelettes : $\|f_s - f_{s,M}\|^2 \leq C M^{-1}$,
 - aux *curvelets* : $\|f_s - f_{s,M}\|^2 \leq C (\log M) M^{-2}$.

Approximation non-linéaire

● Théorème :

Soit f une fonction \mathcal{C}^α en dehors d'un ensemble de courbes elles-mêmes \mathcal{C}^α , l'approximation $f_{s,M}$ de $f_s = g_s \star f$ avec M coefficients satisfait

$$\|f_s - f_{s,M}\|^2 \leq C M^{-\alpha} .$$

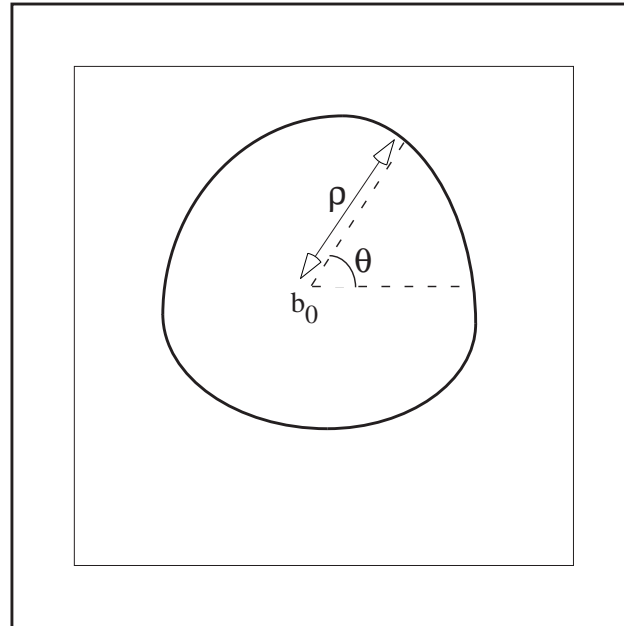
dès que la détection est suffisamment précise.

- Régularité α inconnue.
- Noyau de lissage g_s inconnu.
- Optimalité sous condition de détection.
- Amélioration par rapport :
 - aux ondelettes : $\|f_s - f_{s,M}\|^2 \leq C M^{-1}$,
 - aux *curvelets* : $\|f_s - f_{s,M}\|^2 \leq C (\log M) M^{-2}$.
- Détection de la géométrie ?

Le cas des fonctions étoilées

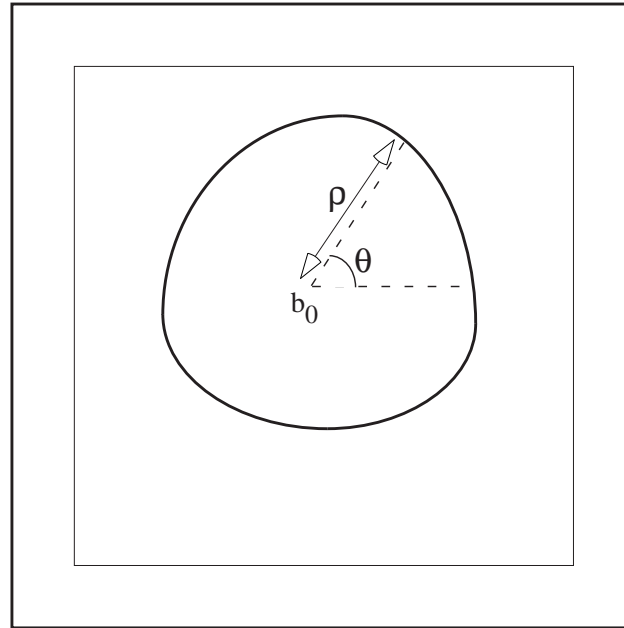


Le cas des fonctions étoilées



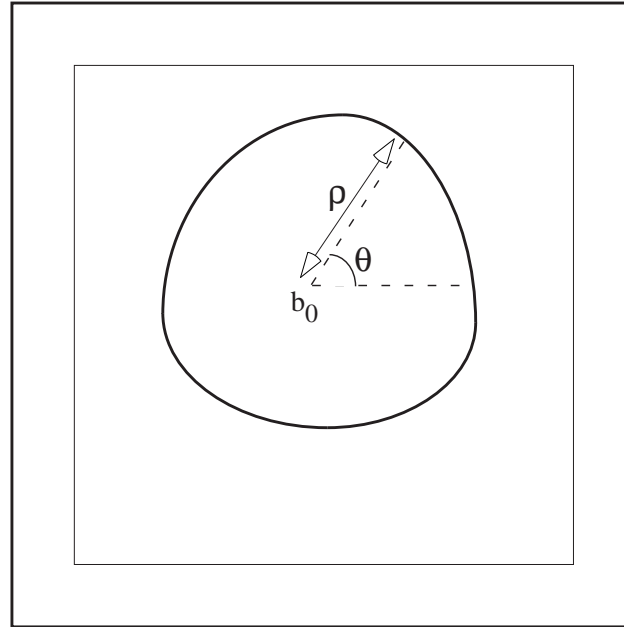
- Modèle simplifié : absence de coin.

Le cas des fonctions étoilées



- Modèle simplifié : absence de coin.
- Preuve de la précision de la détection de la géométrie utilisant la direction du gradient en des maxima locaux.

Le cas des fonctions étoilées



- Modèle simplifié : absence de coin.
- Preuve de la précision de la détection de la géométrie utilisant la direction du gradient en des maxima locaux.
- Géométrie et représentation optimale.

Application au débruitage

PSNR = 20,2 dB



Originale



Bruitée



Bandelettes

PSNR = 30,2 dB



Ondelettes

PSNR = 29,7 dB

Application au débruitage

PSNR = 30,2 dB



Originale



Bruitée



Bandelettes

PSNR = 30,2 dB



Ondelettes

PSNR = 29,7 dB

Améliorations



Améliorations

- Redondance :
 - D'un frame à une *base*.
 - Filtrage adapté à travers les frontières.

Améliorations

- Redondance :
 - D'un frame à une *base*.
 - Filtrage adapté à travers les frontières.
- Géométrie :
 - Recherche de meilleure base par un algorithme CART.
 - Découpage en carrés dyadiques suivie d'une fusion.
 - Partition avant estimation du flot.

Améliorations

- Redondance :
 - D'un frame à une *base*.
 - Filtrage adapté à travers les frontières.
- Géométrie :
 - Recherche de meilleure base par un algorithme CART.
 - Découpage en carrés dyadiques suivie d'une fusion.
 - Partition avant estimation du flot.



Approximation

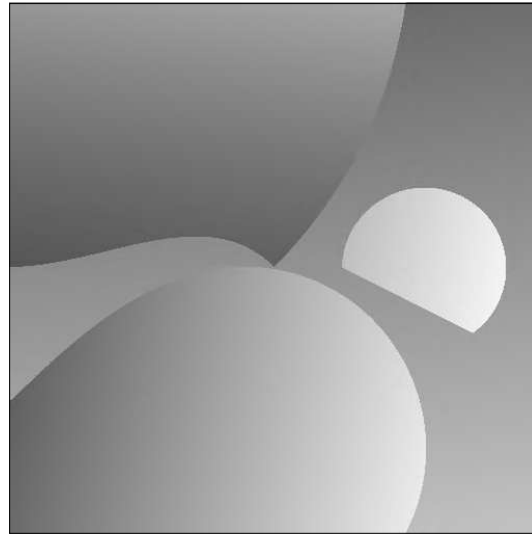


Approximation

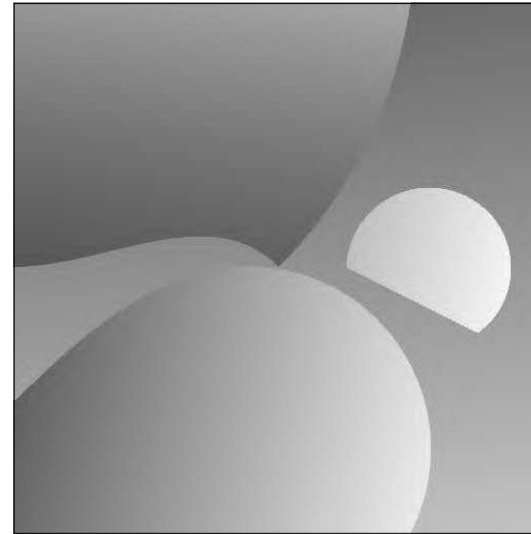
PSNR = 50,15 dB

PSNR = 45,73 dB

$M = 2370$



Bandelettes



Ondelettes

$M = 4001$



Ondelettes



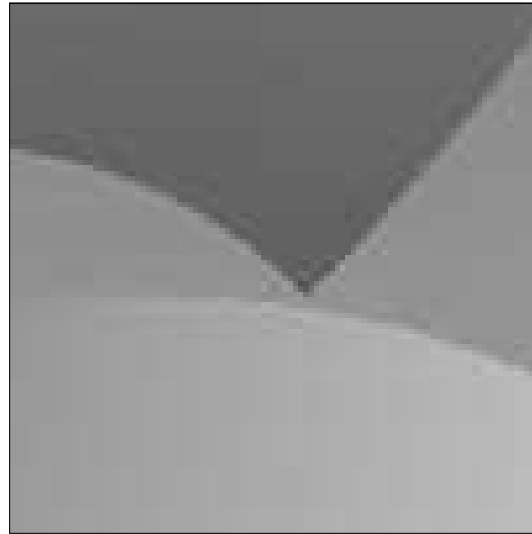
Originale

Approximation

PSNR = 50,15 dB

PSNR = 45,73 dB

$M = 2370$



Bandelettes



Ondelettes

$M = 4001$

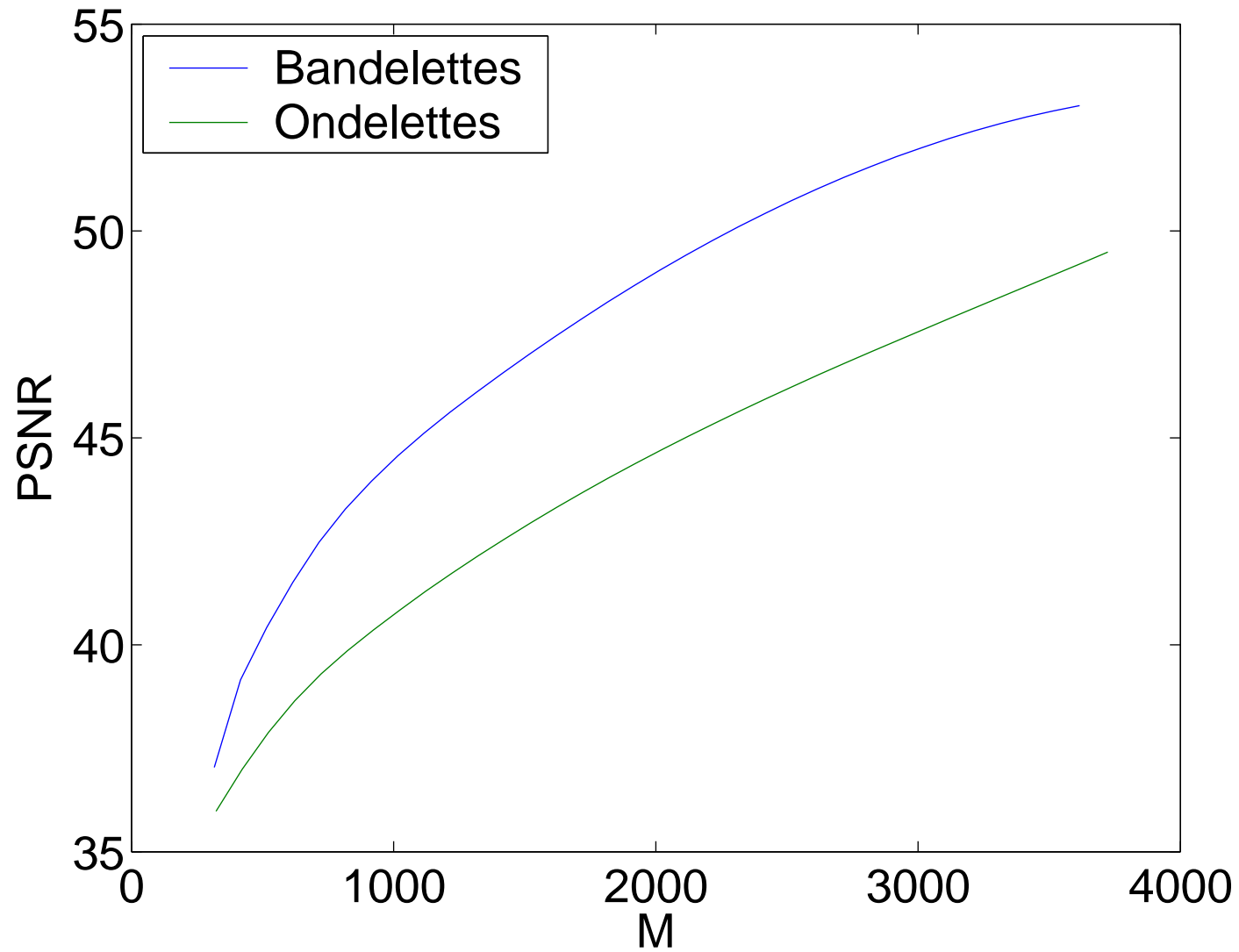


Ondelettes



Originale

Approximation



Approximation

PSNR = 35,04 dB

PSNR = 34,64 dB



$M = 11516$

Bandelettes

Ondelettes



Cosinus

Originale

PSNR = 33,51 dB

Approximation

PSNR = 35,04 dB

PSNR = 34,64 dB



$M = 11516$

Bandelettes

Ondelettes

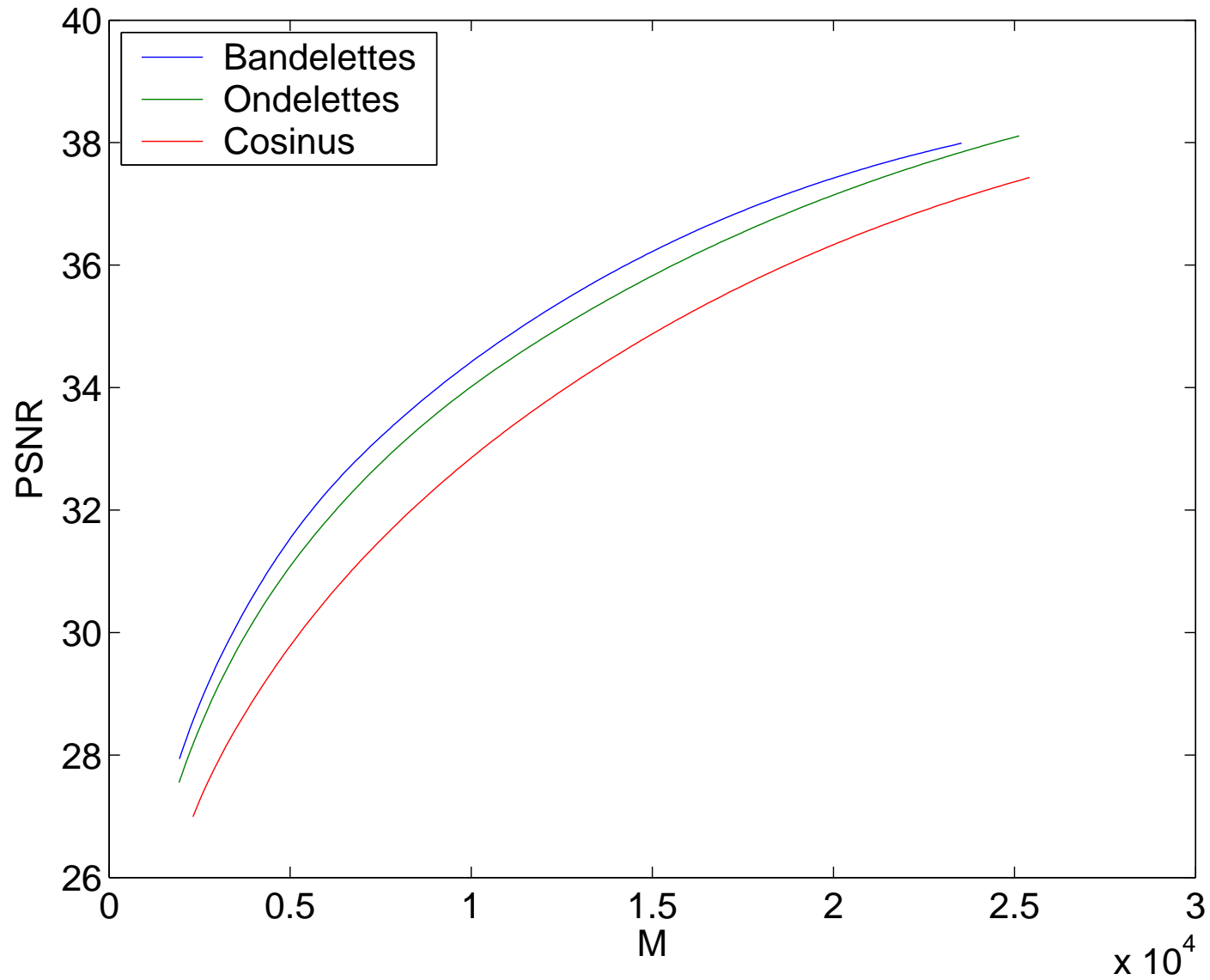


Cosinus

Originale

PSNR = 33,51 dB

Approximation



Approximation

PSNR = 31,47 dB

PSNR = 31,06 dB



$M = 6709$

Bandelettes

Ondelettes



Cosinus

Originale

PSNR = 30,91 dB

Approximation

PSNR = 31,47 dB

PSNR = 31,06 dB



$M = 6709$

Bandelettes

Ondelettes

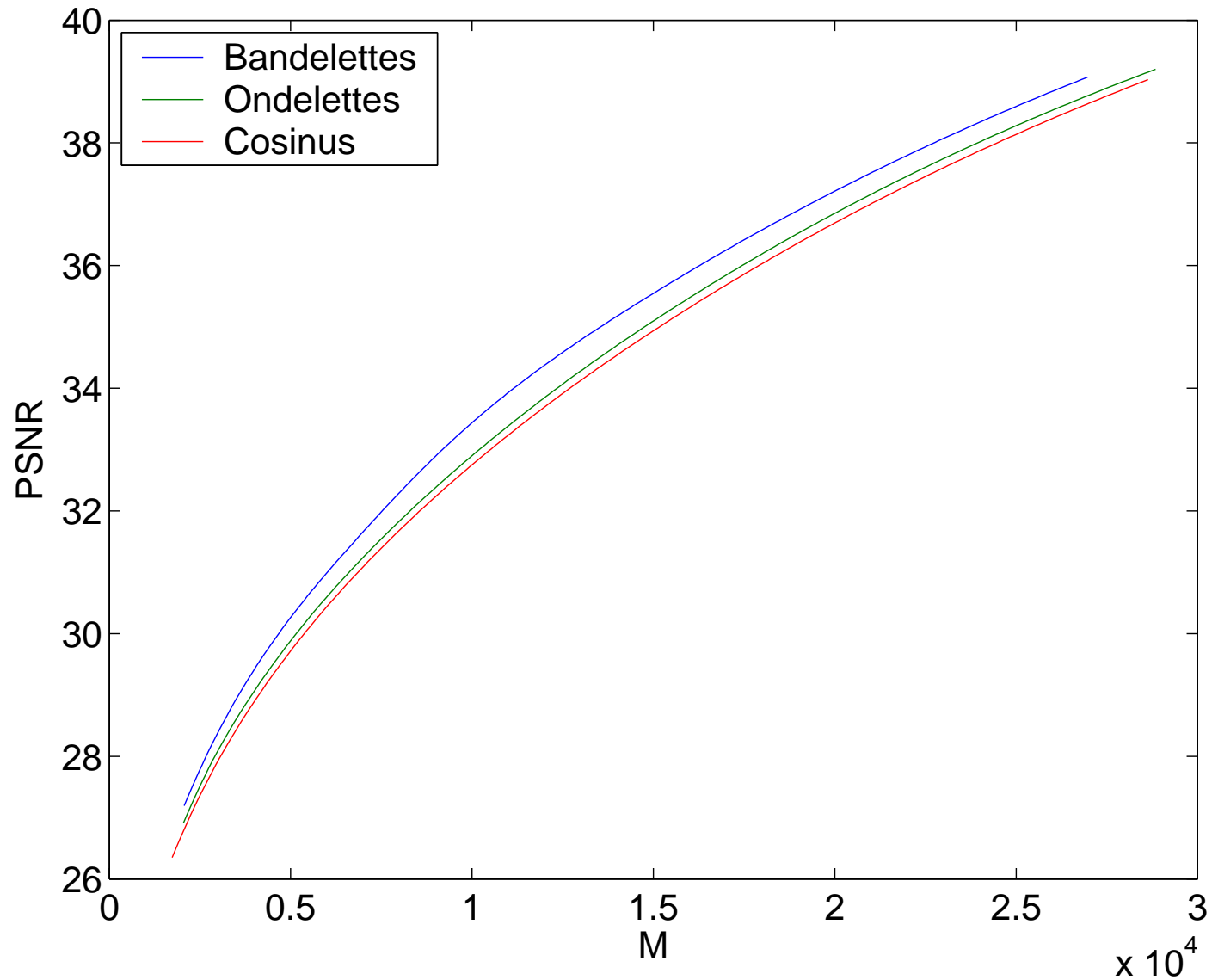


Cosinus

Originale

PSNR = 30,91 dB

Approximation



Conclusion



Conclusion

- Les bandelettes permettent une représentation creuse des images dans un frame (ou une base) adapté à la géométrie.

Conclusion

- Les bandelettes permettent une représentation creuse des images dans un frame (ou une base) adapté à la géométrie.
- Applications dans le traitement du signal :
 - Débruitage et restauration par seuillage.
 - Compression d'image.
 - Compression video.
 - Classification, indexation,...

Conclusion

- Les bandelettes permettent une représentation creuse des images dans un frame (ou une base) adapté à la géométrie.
- Applications dans le traitement du signal :
 - Débruitage et restauration par seuillage.
 - Compression d'image.
 - Compression video.
 - Classification, indexation,...
- Questions mathématiques :
 - Consistance statistique de l'estimation de la géométrie.
 - Théorèmes d'approximation dans des espaces fonctionnels adaptés.
 - Extension aux dimensions supérieures.